

上式において、式(7)と(8)の理論的内容については文献1)を参照されたい。

式(4)の重み係数 $\lambda_{ij}(X_r)$ は、確率場の相互相関関数 $C(\cdot, \cdot)$ を用いると、次式によって求められる。ただし、ここでは定常確率場を仮定している。 n は時間ステップを、 d_{rm} は未観測点 r と観測点 m 間の相関距離を表す。

$$C(d_{rm}, -n) = \sum_{i=1}^N \sum_{j=-\alpha}^{\beta} \lambda_{ij}(X_r) C(d_{im}, j-n) \quad (9)$$

4. 計算結果および考察

図2に示される10地点のうち、7地点(●印)の観測データが与られた条件下で、未観測点(■印)の地震動波形をシミュレートする。相互相関関数(式(1))のパラメーターとしては、 $a_1 = 2.0$ 、 $a_2 = 4.0$ 、 $a_3 = 6.0$ と $a_4 = 0.9$ を与えた。この相互相関関数に基づいた無条件シミュレーションにより、観測波形を得た。図3は(1, -1)地点の観測記録の一例である。

本研究では、7つの観測波形記録より、パラメーターの同定と条件付シミュレーションをリアルタイムに行なった。図4よりわかるように、同定されたパラメーターは、初期には大きく変動してはいるが、徐々に真値に近づいている。各パラメーターの推定誤差分散は、図5のように、漸次小さくなっている。このことから、観測情報が増えると従い、パラメーターの同定精度が向上していることがわかる。

図6は(1, -1)地点における補間波形 $\hat{z}(X_r, k)$ を、図7はその誤差波形 $\epsilon(X_r, k)$ を、図8は式(3)から求められたサンプル波形 $z^*(X_r, k)$ である。サンプル波形は、図3の観測記録にほぼ近い形状であり、観測記録の特徴を表した波形となっている。観測点と未観測点の配置状況も勘案して検討を加えなければならないが、このことは本手法の有効性を示唆しているものと考えられる。図7の誤差波形は小さな値を示しており、サンプル波形に大きな影響を与えていない。

図9は3つの未観測点における推定誤差分散 σ_e^2 の時系列変化を示したものである。情報が増えるにつれて、分散は小さくなっている。同時に、外挿地点に比べて、内挿地点ほど、誤差分散が小さいことも理解できる。

5. おわりに

結果をまとめると、次のようになる。

- 1) 本手法を用いると、相互相関関数のパラメーター同定と地震波形の条件付シミュレーションをリアルタイムに実施できる。地盤などの情報が未知であっても、地震波形の記録から、未観測点における揺れなどを定量的に評価できる。
- 2) パラメーターの推定誤差分散を評価することにより、同定精度の評価を容易に行なうことができる。
- 3) 未観測点の誤差分散を求めるこことにより、条件付地震動シミュレーションの精度を定量的に評価できる。

以上の結果を活用すれば、地震直後あるいは地震最中の被害予測を早期に実施することが容易になると考えられる。

参考文献

- 1) 野田茂・星谷勝・大霜正樹：クリッギングによる地盤震動の条件付シミュレーション、第9回日本地震工学シンポジウム論文集、Vol.1, pp.379~384, 1994年12月。

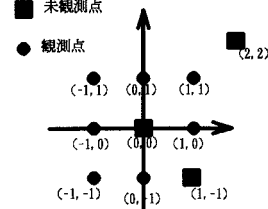


図2 観測点の配置



図3 (1,-1) 地点の観測記録の一例

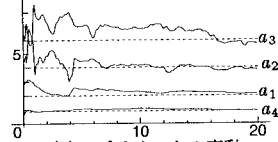


図4 パラメータの変動

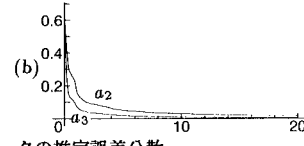
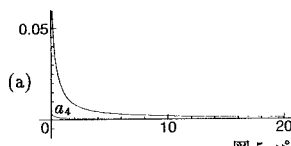


図5 パラメータの推定誤差分散

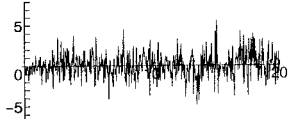


図6 (1,-1) 地点の補間波形

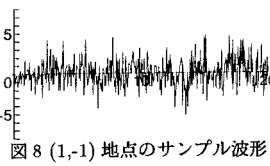
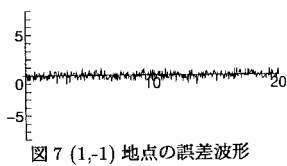


図8 (1,-1) 地点のサンプル波形

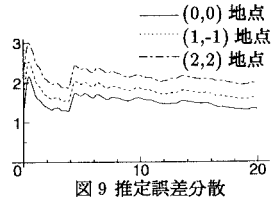


図9 推定誤差分散